

تنقية المياه من صبغة الامارات بطريقة الامتزاز باستخدام قشور الرمان

تاريخ الاستلام 2016/2/15

تاريخ القبول 2016/5/22

هناك ابراهيم كزار

فاطمة علوى عبد السجاد

قسم الكيمياء، كلية العلوم ، جامعة الكوفة

Fatimaa.Muhammed@uokufa.edu.iq

Hanaak.abdullah@uokufa.edu.iq

الخلاصة

تم اختبار قابلية مسحوق من قشور الرمان على امتزاز صبغة الامارات من محلولها المائي مع دراسة تأثير مجموعة من العوامل على امتزاز الصبغة مثل ، الدالة الحامضية للمحلول ، زمن الريح ، وزن السطح الماز ، ودرجة الحرارة. عملية الامتزاز درست على اساس نموذج المرتبة الاولى الكاذبة والمرتبة الثانية الكاذبة وكذلك بواسطة نموذج فريندلش ولانكماير. اعظم سعة امتزاز لقشور الرمان حسبت ضمن نموذج لانكماير وووجد انه يساوي 3.448 ملغم/غم بدرجة حرارة 25 °م. تم حساب الدوال الترموديناميكية مثل الطاقة الحرارية والانثالبي والانتروبي. النتائج أكدت ان امتزاز صبغة الامارات على مسحوق قشور الرمان من نوع الماص للحرارة والتي تتطابق معادلة لانكماير وهي ضمن المرتبة الثانية الكاذبة.

كلمات مفتاحية: الامتزاز، صبغة الامارات، قشور الرمان

المقدمة

ان ازالة الاصباغ الناتجة من صناعة المنسوجات هي احدى المشاكل المهمة التي تتطلب حلول وقد استخدمت العديد من الطرق لهذا الغرض ومن ضمنها عملية الامتزاز ، [4] ، والاكسدة الكيميائية والطرق الباليلوجية. [5]. طريقة الامتزاز تعتبر من الطرق الصديقة للبيئة التي تتميز بالكافأة وقلة الكلفة والقدرة العالية على ازالة الاصباغ من المياه الملوثة[6].

الامتزاز هي عملية نقل كتلة والتي تشمل تجمع المادة على سطح مادة اخرى بطور اخر مثل غاز- سائل ، غاز- صلب ، سائل - صلب. المادة المتجمعة على السطح تسمى المادة الممتززة و السطح يسمى المادة المازة. خواص المادة الممتززة والمازة تكون متخصصة وتعتمد على مكوناتها. ان مكونات المادة المازة (السطح) هي المسؤولة وبشكل رئيسي عن ازالة اي شكل من اشكال الملوثات في المياه الفذرة [8].

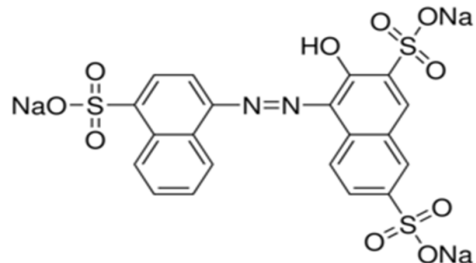
ازداد الاهتمام في السنوات الاخيرة وفي اغلب البحوث على سطوح الامتزاز قليلة الكلفة والتي لها سعة امتزاز عالية، حيث درست النواتج الزراعية الثانوية وبشكل واسع لازلة الملوثات من الماء، وتشمل هذه النواتج الخشب، الصنوبر، قشور الموز، قشور بذور القطن و حب الصويا، قشور الرز، صدف البندق وقشور البندق، نشرة الخشب ، قشور البرتقالي، وكذلك اوراق الاشجار [1].

الرمان من الفواكه الاكثر اهمية في العالم بسبب طعمها اللطيف وقيمتها الغذائية ومميزاتها الطبيعية العالية والجزء الذي يوكل منها هو البندور والقشور وتشكل القشور نسبة 5% الى 15% من وزن الرمانة الكلي وهي نواتج عرضية من صناعة عصير الرمان لذلك فهي رخيصة الثمن [2]. قشور الرمان غنية بالمواد الكيميائية الطبيعية مثل البوليفينولات، عن الأنثوسانيدينات والتаниنات والفالفنونيدات فضلاً العضوية [3]. الأحماض

120520 nm، لها امتصاص اعظم عند الطول الموجي وهي صبغة انيونية [11] يمكن ان تستخدم لصباغة الاقمشة الطبيعية والصناعية، الاوراق، وراتنج الفينول فور مالديهيد.

العمل الحالى يهدف الى ايجاد مادة مازه متوفرة وقليلة الكلفة من قشور الرمان لمعالجة المياه الملوثة بصبغة الامارات باستخدام طريقة الامتزاز ، باستخدام درجات حرارية مختلفة واوزان وزمن رج مختلف وكذلك داله حامضية مختلفة

صبغة الامارات (صوديوم 3-هيدروكسي-4-(4-سلفونافثالين-1-اول)ثنائي ازيل(نفتالين-7,2-ثنائي سلفونات) يستخدم وبشكل كبير في الصناعات النسيجية[9] وهي صبغة ازو حمراء مسودة الى الارجواني تستخدم ايضا في صباغة الاغذية وتلوين مستحضرات التجميل [10] ولكن منذ عام 1976 منع استخدامها في الولايات المتحدة الامريكية كملونات غذائية او في صناعة الادوية حيث وجد انها مادة سرطانية. وهي صبغة ذاتية في الماء وتنفك عند درجة حرارة



شكل 1: تركيب صبغة الامارات صوديوم 3-هيدروكسي-4-(4-سلفونافثالين-1-اول) ثانوي ازيل(نفتالين-7,2-ثنائي سلفونات) [9]

الجزء العلمي

المواد الكيميائية

جميع المواد الكيميائية المستخدمة مجهزة من شركتي mearck و Fluka وهي صبغة الامارات وحامض الهيدرو كلوريك وهيدروكسيد الصوديوم

الاجهزه المستخدمة

تم تحديد الطول الموجي الاعظم للصبغة باستخدام جهاز Spectrophotometer ثاني الحزمة الموجود في قسم

1- تحضير المادة الممتازة

تم اولا غسل قشور الرمان بواسطه الماء المقطر وجففتها في درجة حرارة 70 °C في فرن لمدة 24 ساعة. تم سحق قشور الرمان المجففة جيدا ثم نفحت في الماء المقطر الساخن عند درجة الغليان لمدة ساعتين والغرض من هذه الخطوة هو ازالة لون القشور او المواد المكونة للبشرة الذئبة في الماء وبعدها رشحت القشور وغسلت وجففت ثم مزجت مع حجم مناسب من حامض الكبريتيك المركز (2N) في درجة

الكيمياء في كلية العلوم /جامعة الكوفة من نوع Shimadzu ،

باباني الصنع اما التغير في الامتصاصية للصبغة فقد تم قياسه باستخدام Spectrophotometer احادي الحزمة من نوع Biotech Engineering Management امريكي pH meter ، تم قياس الداله الحامضية باستخدام تصنيع شركة Hanna ، تم اجراء الطرد المركزي باستخدام جهاز الطرد المركزي من نوع ALL-PRO corporation

حرارة الغرفة لمدة ساعتين بعدها تم ترشحها وغسلها بالماء المقطر لازالة بقايا الحامض ثم جففت بدرجة حرارة الغرفة. وضع الناتج في فرن هواء حار بدرجة 110 °C لمدة 8 ساعات. المادة الناتجة النشطة تطحن جيدا للحصول على مسحوق ناعم[12].

2- تأثير زمن الرج

تم دراسة امتراز صبغة الامارات على مسحوق قشور الرمان كدالة لزمن الاهتزاز عند درجة حرارة 25 °C. اخذت

3-تأثير الدالة الحامضية على الامتراز

تم دراسة تأثير حامضية المحلول على امتراز صبغة الامارات على مسحوق قشور الرمان باستخدام pH مختلف من (35-3) ppm (11-3) وتركيز مختلف من الصبغة من (35-3) ppm زمن رج 25 دقيقة . بعد الاتزان يتم معاملة العالق بجهاز الطرد المركزي لمدة 15 دقيقة تحت 2000 دورة بالدقيقة. يفصل الرائش بحذر باستخدام سرنجة ذات نيدل طوبل وتحدد الامتصاصية طيفيا عند الطول الموجي 520nm .

(5-35 ppm) وي Zimmerman رج ثابت 25 دقيقة وزن ثابت للسطح 0.25 غم عند pH الطبيعية للمحلول.

النتائج والمناقشة

تأثير زمن الرج

الشكل (2) يوضح العلاقة بين نسبة الازالة بالأمتراز الدالة لزمن الهز. النتيجة تبين ان امتراز الصبغة على مسحوق قشور الرمان يزداد تدريجيا مع زيادة زمن الرج الى ان تصل الى الزمن 25 دقيقة بعدها تستقر مما يدل على حصول على زمن الاتزان عند 25 دقيقة والذي اعتبر زمن ثابت للرج لبقية التجارب.

عند الوقت 25 دقيقة حصل اعظم امتراز للصبغة بسبب قوة التداخل بين الصبغة والسطح ، الامتراز الاولى يحصل على السطح الخارجي للمادة المازة وبعد اكمال الامتراز على السطح الخارجي تدخل الصبغة الى المسامات الداخلية للسطح[14] وتستقر بعد 25 دقيقة.

نماذج من محلول الصبغة حجم كل نموذج 15 مل وتركيز 25ppm وضعت في ثماني دورق مخروطية تم اضافة وزن 0.1 غم من مسحوق قشور الرمان لكل دورق ووضعت الدوارق في حمام مائي بدرجة 25 °C وتم هزها في الحمام المائي لوقت مختلف من 5-40 دقيقة. بعد الاتزان يتم معاملة العالق بجهاز الطرد المركزي لمدة 15 دقيقة تحت 2000 دورة بالدقيقة. يفصل الرائش بحذر باستخدام سرنجة ذات نيدل 520nm طوبل وتحدد الامتصاصية طيفيا عند الطول الموجي Spectrophotometer الذي تم تحديده مسبقا بجهاز (Ce) للصبغة، ونسبة الازالة وزمن الاتزان من خلال رسم بياني بين نسبة الازالة و الزمن .

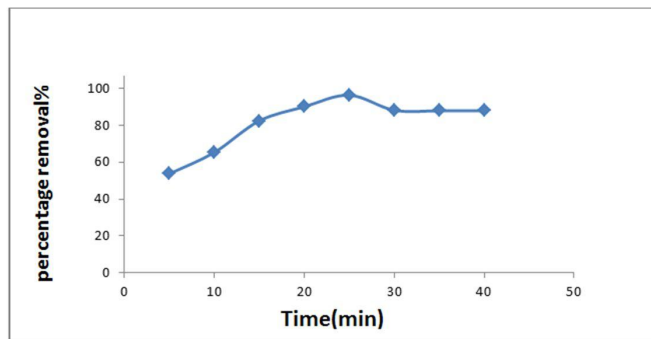
من خلالها يتم حساب تركيز الاتزان (Ce) للصبغة وتحديد كمية الامتراز للصبغة على السطح باختلاف pH الوسط وكذلك معرفة تأثير حامضية الوسط على نسبة الازالة من خلال رسم العلاقة بين pH مختلفة ونسبة الازالة [12].

4-تأثير وزن المادة المازة

تم دراسة تأثير وزن مسحوق قشور الرمان على امتراز صبغة الامارات باستخدام اوزان مختلفة من المسحوق من 0.1 - 1 غم ، مع ثبوت بقية العوامل من تركيز الصبغة 25ppm وزمن الرج 25 دقيقة و pH = 3 بدرجة حرارة 25 °C . تم حساب تركيز الاتزان (Ce) للصبغة ونسبة الازالة من خلال رسم العلاقة بين اوزان مختلفة من السطح ونسبة الازالة [13].

5-تأثير درجة الحرارة على الامتراز

تم دراسة تأثير درجة الحرارة على امتراز صبغة الامارات على مسحوق قشور الرمان باستخدام درجات حرارية مختلفة (20,30,40,50) °C وتركيز مختلف للصبغة

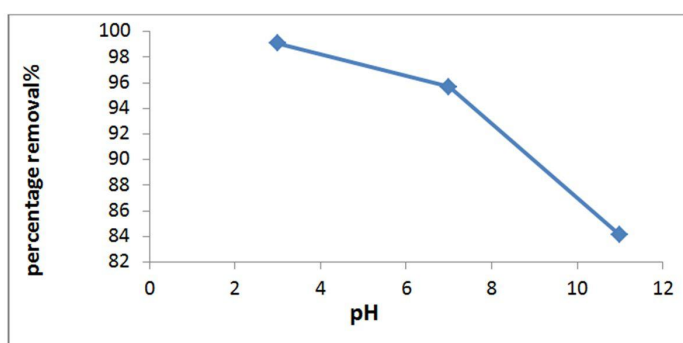


شكل 2: تأثير زمن الرج على امتراز صبغة الامارات على مسحوق قشور الرمان

البروتونات H^+ على السطح والذي يفضل امتراز الصبغة السالبة (الانيونية). زيادة الدالة الحامضية تسبب نقصان في عدد البروتونات على السطح والتي تؤدي إلى نقصان جهد السطح الموجب للمادة المازة مما يقلل التداخل الالكتروستاتيكي بين المادة المازة والمادة الممتزرة وهذا يقود إلى تقليل سعة الامتراز [14، 15].

تأثير pH على الامتراز

جدول 3 يظهر العلاقة مابين نسبة ازالة الصبغة مع اختلاف pH الوسط. النتيجة تبين ان الامتراز يزداد عند الوسط الحامضي عند $pH = 3$ ، لأن سطح المسحوق يصبح موجب الشحنة في الوسط الحامضي بسبب زيادة عدد الامتراز.

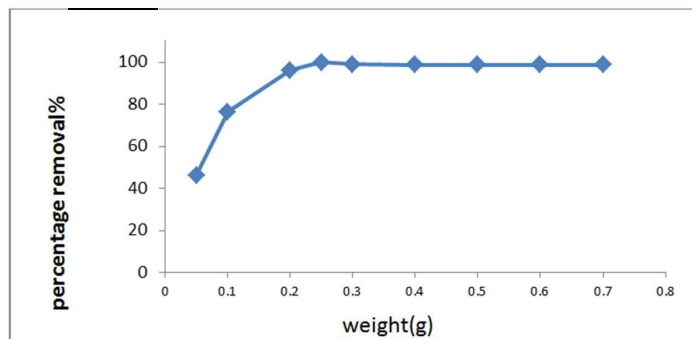


شكل 3: تأثير الدالة الحامضية على امتراز صبغة الامارات على مسحوق قشور الرمان.

سعة الامتراز عادة تزداد بزيادة وزن المادة المازة مع الاحتفاظ بثبوت تركيز الصبغة ولكن بعدها تنخفض او تستقر بسبب ان كمية الايونات الحرة للصبغة الغير ممتزة تكون قليلة وهذا ما وجد في اغلب البحوث [18].

تأثير وزن المادة المازة

شكل 4 يبين العلاقة بين نسبة ازالة الصبغة ووزن المادة المازة. الشكل يبين ان نسبة الازالة تزداد مع زيادة وزن السطح الى ان تصل الى الوزن 0.25 عم بعدها تقل ، وذلك بسبب زيادة الموضع الفعال مع زيادة وزن السطح [16] [17].

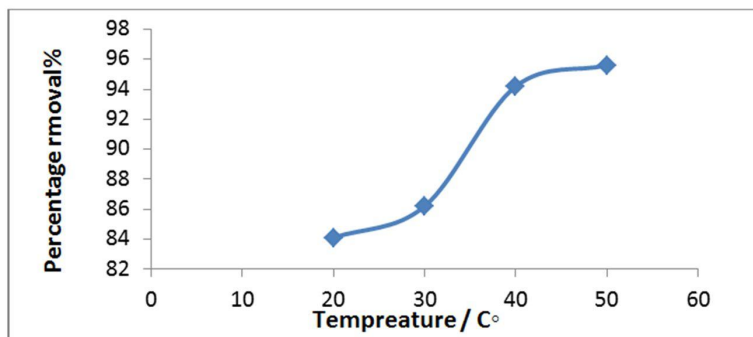


شكل 4: تأثير وزن المادة المازة على امتراز الصبغة

زيادة الامتراز مع زيادة درجة الحرارة سببه زيادة سعة حجم المسام عند امتراز الصبغة[12] او بسبب زيادة اختراق الصبغة الى داخل مسامات السطح الماز عند درجة الحرارة المرتفعة او تنشيط موقع فعالة جديدة[20].

تأثير درجة الحرارة على الامتراز

الشكل 5 يوضح العلاقة بين نسبة الازالة للصبغة مع درجة الحرارة النتائج تبين ان امتراز الصبغة على مسحوق قشور الرمان يزداد مع زيادة درجة الحرارة والتي اكدت ان امتراز الصبغة هو من النوع الماصل للحرارة[19].



شكل 5: تأثير درجة الحرارة على امتراز صبغة الامارات على سطح من قشور الرمان.

الامتراز : ايزوثيرم امتراز لانكمایر و ايزوثيرم امتراز فربندلش.

ايزوثيرم الامتراز

(1) ايزوثيرم امتراز لانكمایر توضحة العلاقة الآتية[22]

سعة الامتراز، $C_e = \text{تركيز الاتزان}$ ، $Q_{max} = \text{اقصى كمية ممكنة من الصبغة التي تستطيع الامتراز على وحدة الوزن الجاف للسطح}$ ، ثابت تجربى يشير الى علاقه المادة الممتزة بالمادة المازة [23].

باستخدام 15 مل من محلول الصبغة ذات التراكيز المختلفة (53-5) جزء من مليون تم هزها مع وزن 0.25 غم من سطح قشور الرمان لمدة 25 دقيقة عند $pH = 3$. بعدها تحدد امتصاصية محلول طيفي من الطبلة $\frac{1}{Qe} = \frac{1}{Q_{max}} + \frac{1}{Q_{max}} \ln \frac{Qe}{Q_{max}}$ نانومتر. ومن ثم يتم حساب تركيز الاتزان وتحديد ايزوثيرم الامتراز للصبغة على السطح من خلال رسم العلاقة ببيانيا بين مدى الامتراز ($\log Qe$) و لوغارتم تركيز الاتزان [21]. ايزوثيرم الامتراز يستخدم لتوضيح العلاقة بين تركيز المادة الممتزة وسعة الامتراز للسطح . هناك نوعان من ايسوثيرمات

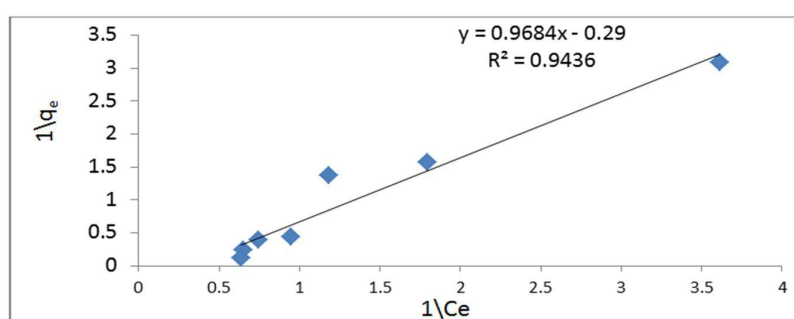
K_L : ثابت التوازن للكماير والذي يتضمن العلاقة بين موقع الارتباط وكمية المادة الممتزرة (b^*) $(K_L = Q_{max} \times C_0)$ تمثل التركيز الابتدائي للصبغة.

عندما تكون قيمة R_L مابين 0-1 تدل على افضلية الامتراز ، من خلال التجارب وجد ان R_L تساوي 0.007961 ومن هذه القيم وجد ان الامتراز مناسب[25]. هذه النتيجة قورنت مع اغلب النتائج المتحققة ووجدت انها مطابقة مما يدل على ان الامتراز نافع للتخلص من انواع مختلفة من الاصباغ باستخدام مادة مازة رخيصة الثمن[26].

العلاقة بين $1/q_e$ مقابل $1/C_e$ تستخدم لتحقيق المطابقة لقانون لانكمایر . وجد ان معامل الارتباط R^2 يساوي 0.9436 والذي يدل على ان البيانات مطابقة لقانون لانكمایر (شكل 6) من خلال نموذج لانكمایر وجد ان $Q_{max} = 3.448$ ملغم /غم و $b = 3.560$ لتر / ملغم.

لتشخيص ايزوثيرم لانكمایر من الممكن استخدام عوامل فصل ثابتة او عوامل توازن تعطى بالعلاقة الآتية[24]:

$$R_L = \frac{1}{1 + K_L \times C_0} \quad (2)$$



شكل 6: ايزوثيرم لانكمایر

K_f : ثابت فريندلش ويمثل سعة الامتراز ، $1/n$ عوامل تجريبية متعلقة بكثافة الامتراز والتي تتفاوت مع عدم تجانس السطح [28].

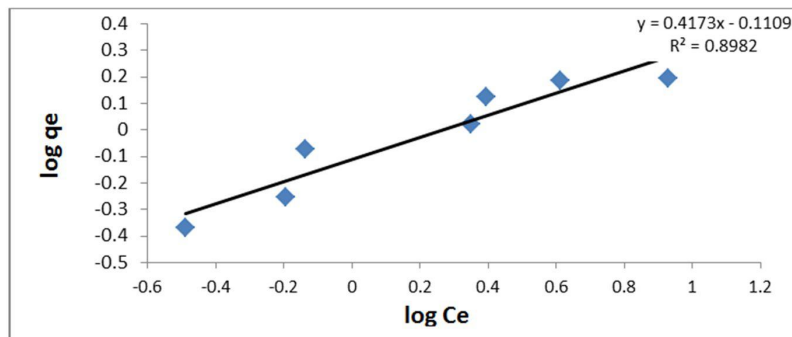
تم رسم العلاقة بين $\log q_e$ مقابل $\log C_e$ للتأكد من التطابق مع معادلة فريندلش. عامل الارتباط R^2 كان مساويا الى 0.8982 وهذه ايضا كانت مطابقة لمعادلة فريندلش. قيم k_f و n كانت 1.3 و 2.4 على التوالي . قيم n اكبر من واحد مما يدل على ان الامتراز على سطح قشور الرمان من نوع الامتراز الفيزياني عند درجة 50°C.[29]

(2) ايزوثيرم امتراز فريندلش الشكل الخطى لايزوثيرم امتراز فريندلش توضحة العلاقة الآتية[27].

$$\log q_e = \log K_f + \frac{1}{n} \log C_e \quad (3)$$

q_e : تركيز اتزان الصبغة الممتزرة على السطح (mg g⁻¹)

C_e : تركيز الاتزان للصبغة في محلول (mg L⁻¹)



شكل 7 : ايزوثيرم امتراز فريندلش

q_m : سعة الاشباع النظري، β : ثابت مرتبط بطاقة الامتراز
 ϵ : جهد بولوني و ES : متوسط طاقة الامتراز
 ويمكن تحديده من خلال المعادلة [31].

(3) معادلة دوبن D-R

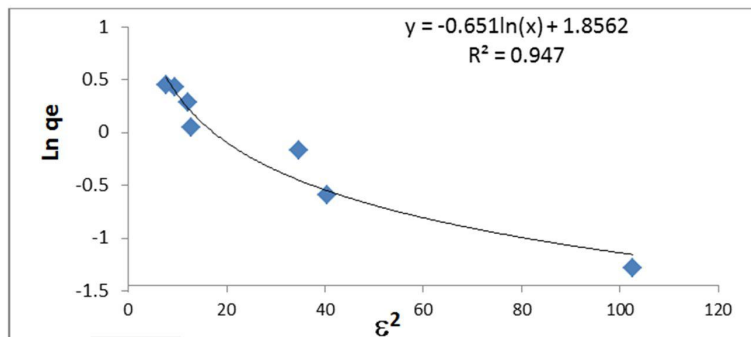
تستخدم هذه المعادلة لتحديد مدى طاقة الامتراز والذي
 يعطينا معلومات عن آلية الامتراز هل هي تبادل ايوني أم
 امتراز فيزيائي او كيميائي [30].

$$ES = \frac{1}{\sqrt{2}\beta} \quad (6)$$

$$\ln q_e = \ln q_m - \beta \epsilon^2 \quad (4)$$

β : يمكن حسابها من ميل الخط المستقيم عند رسم العلاقة بين
 $\ln q_e$ مقابل ϵ^2 (شكل 8)، وجد ان متوسط طاقة الامتراز
 تساوي $0.519 \text{ K}_J \text{mol}^{-1}$ وهي موجبة واقل من $8 \text{ K}_J \text{mol}^{-1}$
 وهذا يبين انه امتراز فيزيائي وتبادل ايوني [32].

$$\epsilon = RT \ln \left(1 + \frac{1}{C_e} \right) \quad (5)$$



شكل 8: العلاقة بين جهد بولوني و تركيز الاتزان

حسابات ثابت الاتزان K_e وهو ثابت اتزان الامتراز لكل درجة حرارة وهو يحسب حسب المعادلة التالية [38].

الدواال الترموديناميكية لعملية الامتراز

تم دراسة تأثير تغير درجة الحرارة على نظام الامتراز
 لتحديد الدوال الترموديناميكية والاستدلال على طبيعة الامتراز
 . وجد ان سعة الامتراز تزداد مع زيادة درجة الحرارة وتم
 حساب الدوال الترموديناميكية مثل ΔG , ΔH , ΔS , ΔF من

حيث ان Q_e هي كمية المادة المازة (mg/gm) و C_e تركيز
 اتزان المادة الممترزة .mg/L

التغير في الانترولي تم حسابه من معادلة كبس- هلمهولتز

[33]

$$\Delta G = \Delta H - T\Delta S \quad (10)$$

جدول 2 يعطي قيم الدوال الترموديناميكية للصبغة الممتاز على سطح قشور الرمان. قيمة ΔH كانت موجبة مما يدل على ان الامتاز ماص للحرارة [34، [35].

عمليات الامتاز لا تعتبر تلقائية بسبب قيمة ΔG الموجبة [36]. بينما قيمة ΔS الموجبة تشير الى ان تداخل الجزيئات بسبب عشوائية في النظام ككل.

طاقة جبس الحرارة يمكن حسابها من المعادلة الآتية:

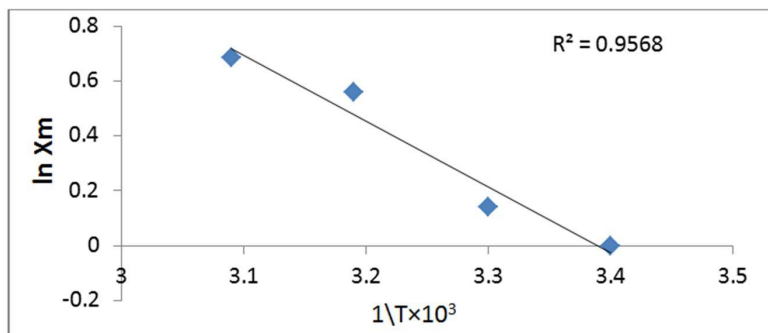
$$\Delta G^\circ = -RT \ln K_e \quad (8)$$

انثالبي الامتاز يمكن قياسه حسب معادلة كلاوسبيوس-

$$\ln X_m = \frac{-\Delta H}{RT} + \text{Constant} \quad (9)$$

حيث (X_m) (mg/gm) القيمة العظمى للامتاز المحسوبة من تركيز الاتزان. جدول 1 يعطي قيم X_m عند درجات حرارية مختلفة لصبغة الامارات.

عند رسم العلاقة بين $\ln X_m$ ومق洛ب درجة الحرارة نحصل على خط مستقيم ميله يساوي $-\Delta H/R$. كما يظهر في الشكل 8.



و مقلوب درجة الحرارة لامتاز صبغة الامارات على سطح قشور الرمان $\ln X_m$ اشكل 9 : رسم يوضح العلاقة بين

جدول 1: قيمة الامتاز الكمي الاعظم X_m للامتاز عند درجات حرارية مختلفة

T/K	$1/T \times 10^{-3}$	$C_e = 1.548 \text{ mg/L}$ $X_m (\text{mg/gm})$	$\ln X_m$
293	3.4	1.001	0.001
303	3.3	1.151	0.14
313	3.19	1.751	0.56
323	3.09	1.987	0.686

جدول 2: الدوال الترموديناميكية لعملية امتاز صبغة الامارات على سطح قشور الرمان عند 298 كلفن

Adsorbate	$\Delta G / (\text{kJ mole}^{-1})$	$\Delta S / (\text{J mole}^{-1}\text{K}^{-1})$	$\Delta H / (\text{kJ mole}^{-1})$
Amaranth dye	15.18	29.25	23.75

حركيات الامتاز

وقيمة K_1 تساوي 0.10501 كما في الشكل 10 والواضح من هذه القيم ان الامتاز ليس من المرتبة الاولى الكاذبة [38].

اما حركة التفاعل من المرتبة الثانية الكاذبة يمكن وصفة بالمعادلة الآتية:

$$\frac{t}{q_t} = \frac{1}{K_2 q_e^2} + \frac{t}{q_e} \quad (12)$$

يمكن حساب q_e و K_2 من رسم العلاقة البيانية بين t/q_t و الزمن كما في الشكل 11.

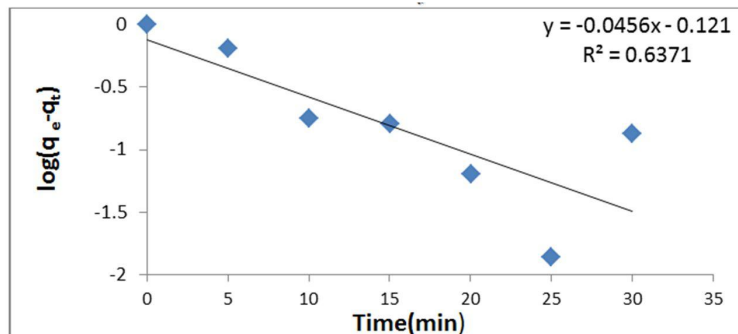
وجد ان قيمة R^2 تساوي 0.9811 وهذا يدل على ان الامتاز هو من المرتبة الثانية الكاذبة ، ان المطابقة مع المرتبة الثانية الكاذبة يؤكد ان الامتاز فزيائي [39] ، [40].

حركة الامتاز من اهم الخصائص التي من خلالها يمكن تقدير كفاءة عملية الامتاز ومن اجل توضيح حركة الامتاز لصبغة الامارات على سطح مسحوق قشور الرمان تم دراسته على اساس مرتبة التفاعل الاولى والثانية الكاذبة[37]. معادلة المرتبة الاولى الكاذبة تحقق تحت فكرة مثلية سطح الامتاز المتاجنس الكلي والذي يعطى حسب المعادلة:

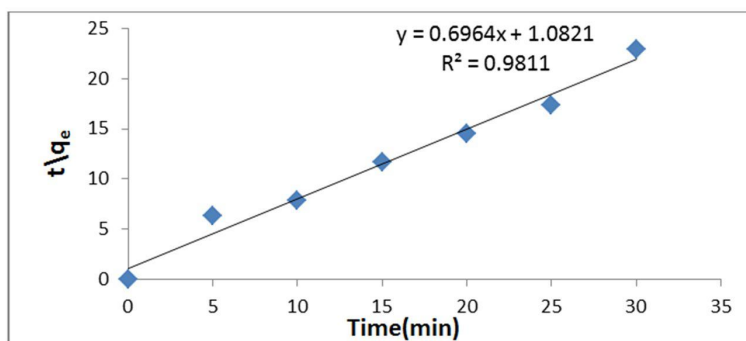
$$\log((q_e - q_t)) = \log q_e - \frac{K_1 t}{2.303} \quad (11)$$

حيث q_e و q_t كمية المادة الممتزة من الصبغة (mg g^{-1}) عند الاتزان والزمن t على التوالي، K_1 ثابت سرعة الاتزان ($\text{L} \cdot \text{min}^{-1}$)

عند رسم العلاقة بين $\log(q_e - q_t)$ مقابل t لتطبيق هذا النوع من الحركة وتحديد ثابت السرعة ، كانت قيمة R^2 تساوي



شكل 10: حركة المرتبة الاولى الكاذبة للامتاز لصبغة الامارات على سطح مسحوق قشور الرمان



حركة المرتبة الثانية الكاذبة للامتاز لصبغة الامارات على سطح مسحوق قشور الرمان شكل 11

المصادر:

- adsorption on to activated charcoal, Environ. Pollut. 97 :183-187
- 9- R. Ameta ,N. Jain, and S. Kothari , 2004.photocatalytic bleaching of amaranth dye over ZnO powder. Ind. J. Chem. technology, 11 :423-426.
- 10- M. B. Gordon. 1961.Physical Chemistry. Mc Graw-Hill, New York, 62
- 11-J.Kumar and A. Bansal,2010. Photocatalytic Degradation of Amaranth Dye in Aqueous Solution Using Sol-gel Coated Cotton Fabric. Pro. Wor. Con. Eng. and Comp. Sci. , 2 : 978-988.
- 12-S. N. Tariq and A. Y.Suhad.2009. Removal of Cr(VI) from Aqueous Solution Using Modified Pomegranate Peel:Equilibrium and Kinetic Studies E-J. Chem., 6(1), 129-142.
- 13-S.Atta, M. I. Din, A. Rasool, I. Qasim, and I.U.Mohsin, 2012 . Equilib.Therm., and Kinetic Sorption Studies for the Removal of Coomassie Brilliant Blue onWheat Bran as a Low-Cost Adsorbent. J. Analy. Meth. Chem, 20 :8.
- 14- N.Deo and M. Ali,1993. Dye adsorption by New low cost materials.Congo red. Indian J. Environ. Prot. 13 :496–508.
- 15- R.S. Juang, R.I. Tseng, F.C. Wa and S.H. lww, 1997. Removal of lignin and tannin color from aqueous solution by adsorption on to activated carbon solution by adsorption on to activated charcoal J. Chem. Technol. Biotechnol. 70 :391 – 399.
- 1- M.M. Sundaram and S. Sivakumar 2012. Use of indian almond shell waste and groundnut shell waste for the removal of azure a dye from aqueous solution. J. Chem. and Pharm. Res., 4 (4) :2047-2054.
- 2- M. R. Moghadam1, N. Nasirizadeh, Z. Dashti and E. Babanezhad 2013. Removal of Fe(II) from aqueous solution using pomegranate peel carbon: equilibrium and kinetic studies, Int. J. Industrial Chem, 7(4) :19 .
- 3-C. B. Nasr, N. Ayed and M. Metche 1996. Comparative cost of colour removal from textile effluents using natural adsorbents.Z Lebensm unters Forsch, 5 (203) : 374–378.
- 4-S.S.Nawar and H.S. Doma 1989. Interparticle diffusion of basic red and basic yellow dyes on palm fruit bunch. Sci. Total Environ , 79 :271.
- 5- A.Hamza, M.F. Hamoda 1980. Industrial Waste Conference,Purdue University, Indiana: 151.
- 6- E. Longhinotti, F. Pozza, L. Furlan, and M. Nazare ,1998. Colour removal from aqueous solution by adsorption. Indian J. chemical technol. J. Braz. Chem. Soc., 9 (5) : 435-440.
- 7- S. Yadav, D.K.Tyagi, and O.P. Yadav ,2011. Equilibrium and kinetic study on adsorption of aniline blue from solution on rice carbon. Int J Chem Res, 2(3) : 5964, .
- 8- S.Mohan, J.Karthikeyan. 1997. Removal of lignin and tannin color from aqueous solution by adsorption on to activated carbon solution by

- of fluoride onto activated Aloe vera carbon. J. Indian Chem. Soc. 84(11): 1114-1118.
- 25- T.N.Webber, and R.K.Chakravarti, 1974. Pora and Solid Diffusion Models for fixed bed adsorbers J.Am.Inst.Chem.Engg, 20 :228-238.
- 26-G. McKay, H. S. Blair, and J. R. Gardner , 1982. Adsorption of dyes on chitin. I. Equilibrium studies,J. App. Polymer Science, 27 (8), : 3043–3057.
- 27- G.McKay, J.F.Porter, G.R.Prasad. Wat, 1999. The removal of dye colours from aqueous solutions by adsorption on low-cost materials, Air Soil Pollut. 114 : 423–438.
- 28- K.K.H.Choey, J.F. Purter, G.McKay, 2004 . J.Chem. The adsorption kinetics of the cationic dye methylene blue onto clay. Technol of Biotechnol. 79 :1181-1188.
- 29- D .Chatzopoulos, A .Varma, and R.Irvine ,1993. Activated carbon adsorption and desorption of toluene in the aqueous phase. AIChE Journal , 39 :20-27.
- 30- F. Daniels ,1970 . Experimental Physical Chemistry, McGrowHillPub. :365-372.
- 31- H .Haghseresht and G.Lu 1998. Adsorption characteristics of phenolic compounds onto coal-rejected-derived adsorbents. Energy and Fuels. 12:1100-7.
- 32- B. H. Hameed, 2009. “Removal of cationic dye from aqueous solution using jackfruit peel as non-conventional low-cost adsorbent,” J. of Hazardous Mat., 162 (1) : 344–350.
- 33- A.F. Al-Kaim, 2007. Kinetics and mechanism of adsorption of methylene blue 16- E. Bulut, M. O. zacar and I. A. Sengil , 2008 . Adsorption of malachite green onto bentonite: Equilibrium and kinetic studies and process design. Micro. and Meso. Mater., 115 :234–246.
- 17- A. W.Adamson. 2001. Physical Chemistry of Surface. Wiley, New York .66.
- 18- A. EL-Maghraby and H.A. EL Deeb, 2011. Removal of abasic dye from aqueous by using rice hulls. Global NEST Journal, 13 (1) : 90-98.
- 19- A .El-Nemr,2009. Potential of pomegranate peel carbon for Cr(VI) removal from wastewater: kinetic and isotherm studies. J Hazard Mater. 161 (1) :132-141.
- 20- O. Abdelwahab ,2008. Removal of lead (II) and copper (II) from aqueous solution using pomegranate peel as a new adsorbent Desalination, 222 :357-367.
- 21- Y.S. Al-Degs , M. I. El-Barghouthi , A. H. El-Sheikh ,and G. M. Walker 2007. Effect of solution pH, ionic strength, and temperature on adsorption behavior of reactive dyes on activated carbon Dyes and Pigments , 3 :1-8.,
- 22- Y. Bulut, N. Gozubenli, and H. Aydin, 2007. Biosorption of reactive dye using acid-treated rice husk:factorial design analysis, J. Hazar. Mater. , 144 (2) : 300–306.
- 23- I. Langmuir, 1916. “The constitution and fundamental properties of solids and liquids. Part I. Solids,” The J. American Chem. Society, 38 (2) : 2221–2295.
- 24- V .Gopal and K.P .Elango. 2007. Kinetic and thermodynamic investigations of adsorption

- 37-Y.-S., 2004. Citation review of Lagergren kinetic rate equation on adsorption reactions, *Scientometrics*, 59 (1) :171–177.
- 38- Y.S. Ho, G. Mackay, D.A.J Wase and C.F.Foster, 2000. Film-Surface diffusion during the adsorption of acid dyes and to activated carbon. *Adsorp Sci Technol.* 18 : 639.
- 39- N. Deo and M. Ali ,1993. Dye adsorption by a new low cost material Congo Red-1 .*Indian J. Environ. Prot* ,13 :496-508.
- 40-K.Kadirvelu, C.Karthika, N.Venilamani and S.Pattabhi. 2005 . Activated carbon prepaid from industrial solid waste as an adsorbent for the removal of Rhodamine-B from aqueous solution: Kinetic and equilibrium studies. *Chemosphere* . 60 :1009–1017.
- from aqueous solution by nitric-acid treated water-hyacinth. *Inat. J. Chem.*, 28 :603-627.
- 34-A.Adamson .1984. Physical Chemistry of Surfaces. 4th Ed., Wiley-Interscience Pub:369-398.
- 35- A. Demirbas , A.Sari and O. Isildak , 2006. Comparative Adsorption of Metal and Dye on Flake and Bead- Types of Chitosan Prepared from Fishery Waste .*J Hazard Mater.* 135:1-3.
- 36- M.Dogan , M.Alkan , A.Turkyilmaz, and Y.Ozdemir,2004 . Removal of pyridine from aqueous solution using low cost activated carbons derived from agricultural waste materials. *J Hazard Mater.*, 109 :141.

Purification of water from Amaranth Dye by adsorption method using pomegranate peel.

Received :15/2/2016

Accepted : 22/5/2016

Fatima Allawi Abdul Sejad and Hana'a Kadtem Egzar

College of science, Kufa University Najaf ,IRAQ

Fatimaa.Muhammed@uokufa.edu.iq

Hanaak.abdullah@uokufa.edu.iq

Abstract

Pomegranate peel was tested for its ability to adsorb Amaranth dye from solutions with alterations in the parameters such as pH, contact time, sorbent weight, and temperature.

The adsorption process was analyzed on the basis of pseudo-first-order, pseudo-second-order kinetic models and also by Dubinin-radushkevich ,Freundlich and Langmuir isotherm models. The maximum adsorption capacity for pomegranate peel calculated it was observed that under Langmuir Isotherm models and it found equal to 3.448mg/ gm at 25C°.The adsorption data were fitted with Langmuir Isotherm models and various second order Kinetic equations .Thermodynamic parameters such as the changes of free energy, enthalpy, and entropy were also evaluated. The results indicated that the sorption of Amaranth dye onto the pomegranate peel was an endothermic process.

Keywords: adsorption, amaranth dye removal, Pomegranate peel.

Chemistry Classification QD 450-801